

# Определяющие соотношения запредельного деформирования горных пород\*

А.И. Чанышев, И.М. Абдулин

Институт горного дела СО РАН, Новосибирск, Россия

e-mail: lykola@yandex.ru

Как у всех тел сопротивление деформированию у горных пород вначале возрастает, достигая пика, затем с ростом деформаций падает. Причем падение не скачкообразное, а непрерывное, что определяется в экспериментах на жесткое нагружение образцов, при котором контролируются смещения захватов испытательных машин. В работе ставится задача построения определяющих соотношений до-предельного и запредельного деформирования горных пород, отражающих изменение сопротивления среды с ростом деформаций. Ставится задача определения двух паспортных зависимостей горных пород, одна из которых имеет вид прямой линии. Показывается, что в применении к описанию состояний плоской деформации система дифференциальных уравнений задачи относится к гиперболическому типу. Причем характеристики в случае запредельного деформирования горных пород не две, а четыре. В общем случае они попарно неортогональны, зависят от значения модуля спада, предела прочности среды, угла внутреннего трения. Определены характеристики, соотношения на характеристиках, связывающие четыре параметра - максимальное касательное напряжение, среднее напряжение, угол поворота, угол, определяющий направления главных осей тензора напряжений. Показывается, что для определения значений этих параметров необходимо на одном и том же контуре задавать и вектор Коши, и вектор смещений (задача Коши). Исследовались теории запредельного деформирования как деформационного типа, связывающие напряжения с деформациями, так и теории типа пластического течения. Рассматривается применение полученных соотношений к решению задачи о двумерном сжатии плоскости с круговым отверстием, когда в окрестности отверстия материал находится в области запредельного деформирования.

## Часть 1. Обработка экспериментальных данных.

На рисунке 1. представлены зависимости  $\sigma_z = f(\varepsilon_z)$ ,  $\sigma_z = g(\varepsilon_\varphi)$ , где  $z$  совпадает с направлением образующей сплошного цилиндрического образца,  $\varphi$  – с тангенциальным направлением.

На представленных зависимостях цифрами указано значения бокового давления, приложенного к образцам,  $\sigma_z$  – осевое сжимающее напряжение;  $\varepsilon_z$ ,  $\varepsilon_\varphi$  – деформации. Видна закономерность: чем больше боковое давление, тем кривые выше и длиннее.

Попытаемся эти зависимости представить в классическом тензорном базисе, один из ортов которого – шаровой тензор, другой – девиатор. То есть тензоры  $T_\sigma$ ,  $T_\varepsilon$  рассмотрим

\*Работа выполнена при финансовой поддержке Российского фонда фундаментальных исследований (проект № 09-05-00327-а), СО РАН (интеграционные проекты № 61, 69, 74).

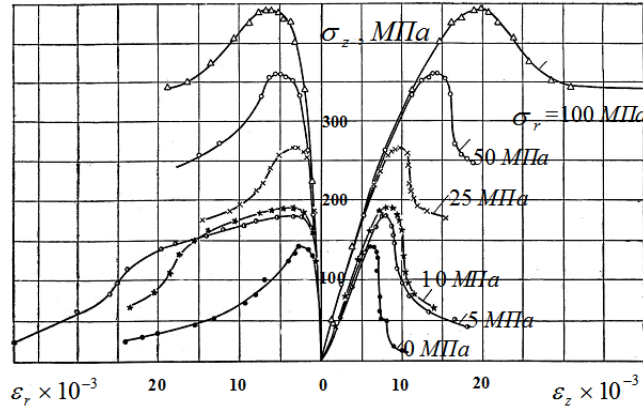


Рис. 1. Полные диаграммы деформирования песчаника [1]

в начале в базисе:

$$T_1 = \frac{1}{\sqrt{3}} \begin{pmatrix} 1 & 0 & 0 \\ 0 & 1 & 0 \\ 0 & 0 & 1 \end{pmatrix}, T_2 = \frac{1}{\sqrt{6}} \begin{pmatrix} -2 & 0 & 0 \\ 0 & 1 & 0 \\ 0 & 0 & 1 \end{pmatrix}, T_3 = \frac{1}{\sqrt{2}} \begin{pmatrix} 0 & 0 & 0 \\ 0 & 1 & 0 \\ 0 & 0 & -1 \end{pmatrix}. \quad (1)$$

Координаты  $T_\sigma$ ,  $T_\varepsilon$  здесь равны:

$$S_1 = \sqrt{3} \sigma_r + \frac{\Delta \sigma_z}{\sqrt{3}}, S_2 = -\frac{2 \Delta \sigma_z}{\sqrt{6}}, S_3 = 0;$$

$$\Omega_1 = \sqrt{3} \varepsilon_r + \frac{2 \Delta \varepsilon_r + \Delta \varepsilon_z}{\sqrt{3}}, \Omega_2 = \frac{2(\Delta \varepsilon_r - \Delta \varepsilon_z)}{\sqrt{6}}, \Omega_3 = 0.$$

Зависимости  $S_1 = S_1(\Omega_1)$ ,  $S_2 = S_2(\Omega_2)$  для песчаника представлены на рисунке 2. Видна

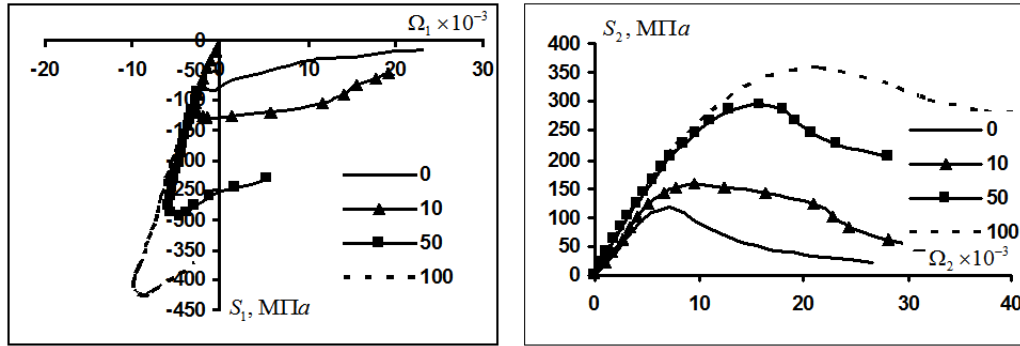


Рис. 2. Зависимости  $S_1 = S_1(\Omega_1)$  (рис. а),  $S_2 = S_2(\Omega_2)$  (рис. б) для песчаника по данным [1]

дилатансия (рис. 2 слева), на рис. 2 справа отсутствует «единая» зависимость.

Повернем базис (1) вокруг орта  $T_3$  на угол  $\varphi_* = 35.26^\circ$ . Используем при этом для данного значения угла  $\varphi$  формулы преобразования координат:

$$\begin{cases} S_m = S_1 \cos \varphi - S_2 \sin \varphi, & S_l = S_1 \sin \varphi + S_2 \cos \varphi, \\ \Omega_m = \Omega_1 \cos \varphi - \Omega_2 \sin \varphi, & \Omega_l = \Omega_1 \sin \varphi + \Omega_2 \cos \varphi. \end{cases}$$

На рис. 3 представлены зависимости  $S_m = S_m(\Omega_m)$ ,  $S_l = S_l(\Omega_l)$ .

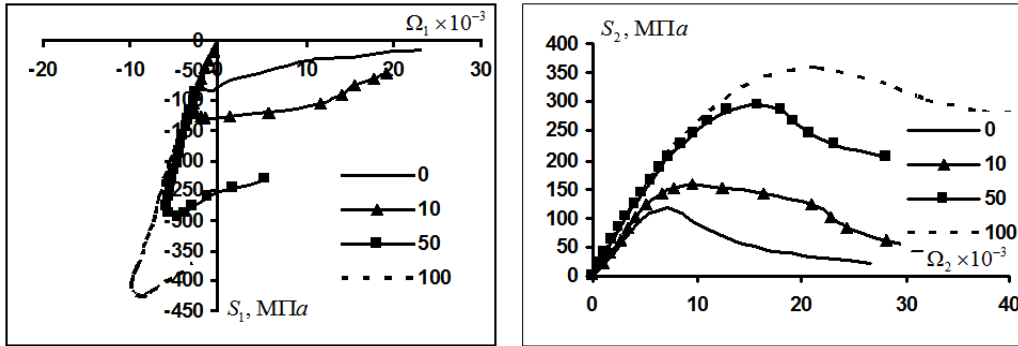


Рис. 3. Зависимости  $S_m = S_m(\Omega_m)$  (рис. а),  $S_l = S_l(\Omega_l)$  (рис. б) для песчаника по данным [1]

Первая зависимость рисунка 3 аппроксимируется уравнением

$$S_m = 3.2 \times 10^4 \Omega_m \text{ (МПа)} \quad (2)$$

с коэффициентом корреляции  $R = 0.937$ . Вторая зависимость –

$$S_l = -2 \cdot 10^{-7} \Omega_l^6 + 4 \cdot 10^{-5} \Omega_l^5 - 3.4 \cdot 10^{-3} \Omega_l^4 + 0.1289 \Omega_l^3 - 2.5074 \Omega_l^2 + 22.006 \Omega_l - 18.108 \quad (3)$$

с коэффициентом корреляции  $R = 0.901$ .

Утверждается, что (2) справедлива как для упругого деформирования, как для пластического, так и для запредельного деформирования (аналог зависимости  $\sigma = k\varepsilon$  для металлов, где  $\sigma$  – среднее напряжение,  $\varepsilon$  – средняя деформация). Кроме того утверждается, что зависимость (3) является единой (аналог «единой» зависимости  $\sigma_i \sim \varepsilon_i$  для металлов, где  $\sigma_i, \varepsilon_i$  – интенсивности напряжений и деформаций соответственно).

Часть 2. Определяющие соотношения. Характеристики и соотношения на характеристиках при плоской деформации для горных пород в случае запредельного деформирования.

Рассмотрим (2), (3) для описания запредельного деформирования при плоской деформации. Основные соотношения для теории типа пластического течения имеют вид:

$$\Delta\tau' = \frac{\Delta\sigma_x - \Delta\sigma_y}{2} \cos 2\theta + \Delta\tau_{xy} \sin 2\theta, \quad \Delta\tau'' = \frac{\Delta\sigma_x - \Delta\sigma_y}{2} \sin 2\theta + \Delta\tau_{xy} \cos 2\theta. \\ -\frac{\Delta\varepsilon_x - \Delta\varepsilon_y}{2} \sin 2\theta + \Delta\varepsilon_{xy} \cos 2\theta = \frac{1}{2\mu_*} \left( -\frac{\Delta\sigma_x - \Delta\sigma_y}{2} \sin 2\theta + \Delta\tau_{xy} \cos 2\theta \right) \quad (4)$$

$$\Delta\Omega_l = \left( \frac{\Delta\varepsilon_x - \Delta\varepsilon_y}{2} \cos 2\theta + \Delta\varepsilon_{xy} \sin 2\theta \right) \cos \varphi_* + \frac{\Delta\varepsilon_x + \Delta\varepsilon_y}{2} \sin \varphi_* = \\ = -\frac{1}{2\mu_*} \left[ \left( \frac{\Delta\sigma_x - \Delta\sigma_y}{2} \cos 2\theta + \Delta\tau_{xy} \sin 2\theta \right) \cos \varphi_* + \frac{\Delta\sigma_x + \Delta\sigma_y}{2} \sin \varphi_* \right], \quad (5)$$

$$\Delta\Omega_m = -\left( \frac{\Delta\varepsilon_x - \Delta\varepsilon_y}{2} \cos 2\theta + \Delta\varepsilon_{xy} \sin 2\theta \right) \sin \varphi_* + \frac{\Delta\varepsilon_x + \Delta\varepsilon_y}{2} \cos \varphi_* = \\ = \frac{1}{2k} \left[ -\left( \frac{\Delta\sigma_x - \Delta\sigma_y}{2} \cos 2\theta + \Delta\tau_{xy} \sin 2\theta \right) \sin \varphi_* + \frac{\Delta\sigma_x + \Delta\sigma_y}{2} \cos \varphi_* \right]. \quad (6)$$

Основные соотношения модели запредельного деформирования имеют вид: (4), (5), (6), где  $2\mu_*$  – модуль спада на кривой  $S_l = S_l(\Omega_l)$  (рис. 3),  $2k$  – модуль упругости на кривой  $S_m = S_m(\Omega_m)$ ,  $2\mu$  – модуль упругости на кривой  $S_l = S_l(\Omega_l)$ .

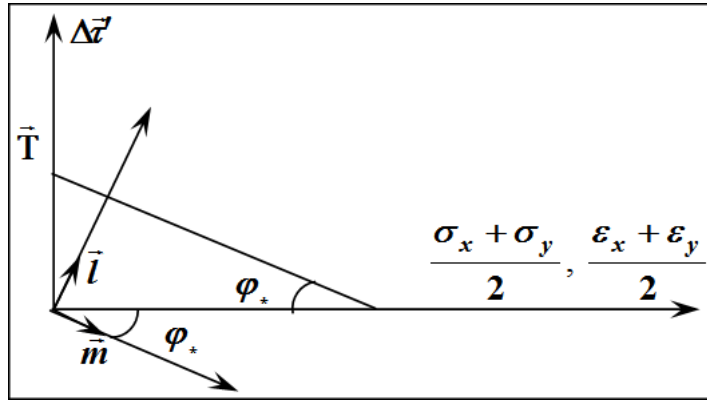


Рис. 4. Плоскость, ортогональная девиаторной, проходящую через векторы  $\mathbf{T}$  (девиатор),  $\Delta\tau'$  (простое догружение в терминологии [2, 3])

Подстановка (4), (5), (6), в уравнения равновесия приводит к гиперболической системе уравнений. Характеристики системы дифференциальных уравнений получаем в виде:

$$\lambda = \operatorname{tg}(\theta + \beta), \text{ где}$$

$$(\operatorname{tg}\beta)_{1, 2, 3, 4} = \pm \frac{\sqrt{2}}{2} \sqrt{\frac{a + \sqrt{b}}{c}} \pm \frac{\sqrt{2}}{2} \sqrt{\frac{a - \sqrt{b}}{c}},$$

$$a = \left(1 + \frac{\mu_*}{k}\right) \cos 2\varphi_* + \frac{2\mu_*}{\mu}, \quad b = \left(1 + \frac{\mu_*}{k}\right)^2 \cos^2 2\varphi_* - \frac{4\mu_*}{k}, \quad c = 1 - \frac{\mu_*}{k} - \left(1 + \frac{\mu_*}{k}\right) \sin 2\varphi_*,$$

т.е. имеем четыре попарно неортогональные характеристики. Эти характеристики связывают четыре параметра: максимальное касательное напряжение  $T$ , среднее напряжение  $\sigma$ , угол  $\theta$ , задающий главные направления осей тензора напряжений  $T_\sigma$ , компоненту вектора поворота  $\omega_z$ :

$$\begin{aligned} & \left[ \left( C - \frac{1}{2\mu} \right) \sin 2\beta - (A + 2B + C) \operatorname{tg}\beta \right] \frac{\Delta\sigma_x + \Delta\sigma_y}{2} + \left( C - \frac{1}{2\mu} \right) \sin(2\beta) \cdot \Delta T + \\ & + 2T \left[ \left( C - \frac{1}{2\mu} \right) \cos 2\beta - B \right] \Delta\theta + \Delta\omega_z = \text{const}. \end{aligned}$$

Для решения требуется знать на одной и той же границе и вектор напряжений Коши, и вектор смещений. При этом

$$\begin{cases} \Delta g_n = (C\Delta T - B\Delta\sigma) \sin 2(\theta - \varphi) + \frac{2T\Delta\theta \cos 2(\theta - \varphi)}{2\mu} - \Delta\omega_z, \\ \Delta g_t = -(C\Delta T - B\Delta\sigma) \cos 2(\theta - \varphi) + \frac{2T\Delta\theta \sin 2(\theta - \varphi)}{2\mu} + A\Delta\sigma, \end{cases}$$

$$\begin{cases} \Delta p_n = \Delta\sigma_x \cos^2 \varphi + \Delta\sigma_y \sin^2 \varphi + \Delta\tau_{xy} \sin 2\varphi, \\ \Delta p_t = \Delta\tau_{xy} \cos 2\varphi - \frac{\Delta\sigma_x - \Delta\sigma_y}{2} \sin 2\varphi, \end{cases}$$

или

$$\begin{cases} \Delta p_n = \Delta\sigma + \Delta T \cos 2(\theta - \varphi) - 2T\Delta\theta \sin 2(\theta - \varphi), \\ \Delta p_t = \Delta T \sin 2(\theta - \varphi) + 2T\Delta\theta \cos 2(\theta - \varphi). \end{cases}$$

где  $\Delta g_n, \Delta g_t$  – компоненты производной вектора приращений смещений по касательной к граничной кривой.

### Часть 3. Решение задачи о деформировании массива пород вокруг выработки.

В работе рассматривается решение задачи о запредельном деформировании массива пород вокруг цилиндрической выработки. Построено поле напряжений и смещений в области запредельных деформаций и в области упругости. Граница раздела этих областей имеет вид эллипса. Решение в области упругости находится посредством применения формул Колосова-Мусхелишвили. Потенциалы  $\varphi$  и  $\psi$  в данном случае имеют вид:

$$\begin{aligned}\varphi'(\sigma) &= \frac{1}{\aleph+1} \frac{\sigma^2 w'^2(\sigma)}{\bar{w}'\left(\frac{1}{\sigma}\right)} \frac{\sigma_y - \sigma_x + 2i\tau_{xy}}{2} \Big|_{\vartheta} + \frac{\aleph w'(\sigma)}{\aleph+1} \frac{\sigma_y + \sigma_x}{2} \Big|_{\vartheta} - \frac{2\mu i\sigma w'(\sigma)}{(\aleph+1)\bar{w}'\left(\frac{1}{\sigma}\right)} (u_x - iu_y)'_{\vartheta} \\ \psi(\sigma) &= \aleph \bar{\varphi}\left(\frac{1}{\sigma}\right) - \bar{w}\left(\frac{1}{\sigma}\right) \frac{\varphi'(\sigma)}{w'(\sigma)} - 2\mu (u_x - iu_y)|_{\theta}\end{aligned}\quad (7)$$

Как уже сказано, приводятся результаты вычислений границы, отделяющей области упругого и запредельного деформирования, распределений напряжений, деформаций и смещений в этих областях. В формулах (7)  $u_x, u_y, \sigma_x, \sigma_y, i\tau_{xy}$  – граничные значения функций  $w(\sigma)$  – отображающая на круг функция. Задача рассчитывалась следующим образом. По известным граничным значениям смещений  $u_r, u_{\varphi}$  на контуре выработки определялись граничные значения функций  $T, \sigma, \theta, \omega_z$ . Далее, двигаясь по четырем характеристикам, определялись значения этих функций внутри области вплоть до границы упругости, на которой  $T = T_e, \Gamma = \Gamma_e$ , где  $T_e, \Gamma_e$  – пределы упругости. По известным значениям напряжений, деформаций, смещений на этой границе восстанавливались потенциалы  $\varphi$  и  $\psi$  по формулам (7). Определялись напряжения, деформации, смещения в области упругости. Расчеты проводились для разных значений параметров  $A, B, C$  в граничных зависимостях

$$u_r = A + B \cos 2\varphi, \quad u_{\varphi} = C \sin 2\varphi.$$

### Выводы

- Построена математическая модель упругого и неупругого (запредельного) деформирования горных пород с двумя паспортными характеристиками среды, одна из которых – прямая линия.
- Разработана методика расчета задач о разрушении массива горных пород вокруг выработок на основе предложенных соотношений.

## Список литературы

- [1] СТАВРОГИН А.И., ПРОТОСЕНЯ А.Г. Пластичность горных пород. М.: Недра, 1979. 301 с.
- [2] ХРИСТИАНОВИЧ С.А. Деформация упрочняющего пластического материала // МТТ.-1974.-№2.
- [3] ШЕМЯКИН Е.И. Анизотропия пластического состояния // ЧММСС.-1973.-Т.4.-№4.
- [4] КАЧАНОВ Л.М. Основы теории пластичности – М.: Наука, 1969.
- [5] МУСХЕЛИШВИЛИ Н.И. Некоторые основные задачи математической теории упругости. – М.: Издательство АН СССР, 1949.
- [6] ЧАНЫШЕВ А.И. О влиянии порядка приложения нагрузок в механике горных пород // ФТПРПИ. – 2000. - №5.

- 
- [7] ЖУКОВ А.М. Пластические деформации сплава АК-6 при простом и сложном нагружениях // Расчеты на прочность. М.: Машиностроение, 1966. Вып. 12.
  - [8] ИЛЬЮШИН А.А. Пластичность. Основы общей математической теории. – М.: Издательство АН СССР, 1963.
  - [9] Чанышев А.И. К проблеме разрушения деформируемых сред. Ч.1: Основные уравнения // ФТПРПИ. – 2001. – №3.
  - [10] ШВАБ А.А. Некорректные статические задачи теории упругости // МТТ.– 1989. – №6.